

AC7) 대기 중 암모니아 가스 및 암모늄 에어로졸의 실시간 측정 방법 개발

Methodology development for measurement of gas phase ammonia and aerosol ammonium(NH₄⁺) in the atmosphere at real time

김은하 · 이재훈

광주과학기술원 환경공학과

1. 서론

암모니아는 대기 중에서 가장 대표적으로 존재하는 염기성 미량기체로서 SO_x나 NO_x와 같은 산성기체와 반응하여 대기중 산성도를 중화시키고 2차적 에어로졸을 생성한다. 암모니아가스는 이 반응에 의하여 에어로졸 내에서는 암모늄 이온(NH₄⁺)으로 존재하게 된다. 산성기체를 중화시킨다는 입장에서 염 생성 반응은 산성기체의 제거 기작이 될 수 있으나 이 때 생성된 에어로졸은 주로 PM_{2.5} 이하의 2차적 에어로졸로 존재하여 호흡기장애, 건물 부식, 시정 감소 등의 피해를 주는 오염물질이 된다. 더욱이 이 에어로졸은 지구로 들어오는 태양광선을 반사하여 그 자체로서 냉각효과를 일으킬 뿐만 아니라 구름 생성에 있어서 CCN (cloud condensation nuclei)으로 작용하여 냉각효과에 간접적인 영향을 주기도 한다. 따라서 2차 에어로졸 생성과정 규명을 위하여, 그리고 지구온난화 및 냉각효과를 규명하기 위한 연구인 GCM (Global Circulation Model)의 중요한 입력데이터로서 암모니아 및 암모늄의 분리 측정이 절실히 요구되고 있다.

이와 같은 중요성에도 불구하고 국내외적으로 대기중 가스상 암모니아 및 입자상 암모늄 측정기술개발에 대한 연구는 미비한 실정이다. 따라서 본 연구에서는 암모니아 가스가 에어로졸 생성에의 기여도 및 대기 중 존재하는 암모니아와 에어로졸내 암모늄의 성분비를 밝히고자 암모니아 가스 및 암모늄 이온의 실시간 동시 측정방법을 개발하고자 하였다. 이 방법은 대기 중에 존재하는 암모니아 가스와 암모늄 에어로졸을 분리하고 농축시켜 샘플링하고 샘플링과 동시에 분석하기 때문에 매우 감도가 좋으며 실시간 (in-situ)측정이 가능하여 시간에 따른 농도변화를 현장에서 바로 알 수 있는 방법이다.

2. 연구방법

본 연구에서 개발한 측정기술은 그림 1.의 모식도와 같이 샘플링부분과 분석부분이 동시에 연결되어 있다. 샘플링 부분에는 암모니아 가스와 에어로졸 내 암모늄의 분리를 위한 산성코팅된 디누더(denuder)와 기체를 액상으로 용해시켜 포집하기 위한 glass coil sampler가 연결되어 있는데 암모니아 가스와 에어로졸 내 암모늄을 동시에 분리해서 측정하기 위하여 2개의 채널로 되어 있다. 첫 번째 채널에서는 암모니아 가스는 디누더를 통과하면서 제거되고 암모늄 에어로졸만을 포함한 공기샘플이 coil sampler로 들어가 포집용액인 증류수에 용해되어 암모늄 이온의 상태로 포집된다. 디누더가 없는 두 번째 채널에서는 암모니아 가스와 암모늄 에어로졸을 포함한 공기 샘플이 포집되는데 암모늄 에어로졸 뿐 아니라 암모니아 가스도 증류수에 용해되어 암모늄 이온의 상태로 포집되게 된다. 따라서 두 번째 채널에서 암모니아 가스와 암모늄 에어로졸이 합하여 측정되고, 첫 번째 채널에서는 암모늄 에어로졸만이 측정되기 때문에 두 번째 채널과 첫 번째 채널의 농도차이로 암모니아 가스의 농도가 계산된다. 포집된 샘플은 바로 분석부분으로 들어가게 되는데 peristaltic pump를 이용한 연속주입방식을 통하여 샘플 중 암모늄 이온은 OPA (o-phthalaldehyde)와 sulfite와 반응하여 형광유도체를 형성하고 fluorescence detector를 이용하여 분석하게 된다.

샘플링부분에서 사용된 디누더는 1%의 citric acid로 코팅하였고, 포집 용액으로는 pH 6이하인 증류수를 사용하였으며 coil sampler의 길이는 140.7 cm, 공기 주입량은 2l/min, 포집용액 주입량은 0.3ml/min을 유지하였다. 최적의 분석조건을 충족시키기 위하여 OPA와 sulfite의 농도는 각각 10mM, 3mM을 선

택하였고, sulfite는 pH 11의 phosphate buffer에 제조하였다. 또한 반응코일내의 온도는 상온, 반응시간은 2분으로 결정하였으며 fluorescence detector의 λ_{ex} 과 λ_{em} 은 각각 370nm, 440nm로 고정시켰으며 data processing은 Autochro-WIN 2.0을 사용하였다.

검량선 작성을 위한 standard로 $(NH_4)_2SO_4$ 용액을 이용하였으며, collection efficiency는 standard gas phase ammonia를 generation한 후 2개의 glass coil sampler를 직렬로 연결하여 포집된 샘플의 농도차를 이용하여 계산하였으며 구한 collection efficiency와 effective henry's law를 이용하여 대기중의 암모늄의 농도를 계산한다.

$$\text{포집효율 } \beta (\%) = (1 - C_2/C_1) \times 100$$

C_1 = 1차 coil sampler에서 측정된 NH_4^+ 의 농도

C_2 = 2차 coil sampler에서 측정된 NH_4^+ 의 농도

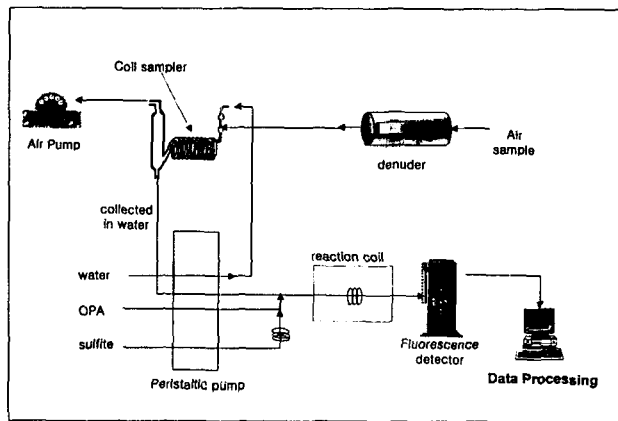


그림 86. schematic diagram of sampling and analysis of ammonium aerosol and ammonia gas

3. 결과 및 고찰

그림 2는 본 방법을 이용하여 구한 액상 암모늄이온의 검량선이다. 본 방법에서는 peristaltic pump를 통한 연속시료주입방식을 택하여 피크의 높이로 농도를 계산하였다. 이 검량선과 collection efficiency, 그리고 effective henry's law를 이용하여 대기 중 농도를 계산할 수 있다.

공기 샘플의 주입량은 포집 용액의 주입량을 0.3ml/min으로 고정된 후 공기 주입량을 1l/min에서 5l/min로 변화시키면서 공기 샘플과 포집 용액이 접촉하는 residence time에 따른 collection efficiency test를 통하여 2l/min으로 결정하였는데 이 실험에 대한 자세한 결과는 발표시 제시하기로 한다.

그리고 현재 실험실에서 창문과 후드를 통하여 실외공기를 흡입시키는 경우와, 실외공기 유입을 차단하고 실내의 암모니아 오염원이 있는 경우의 total ammonia ($NH_3 + NH_4^+$)을 측정하고 있으며 광주과학기술원 생명과학과 건물 옥상에 있는 동물사육장에서 2 채널을 이용한 암모니아 가스와 암모늄 에어로졸의 동시 분리측정을 실시하고 있다. 이 실험은 실시간(in-situ)으로 측정하고 있으며 매 3시간마다 zero-air를 측정하여 baseline에 대한 보정을 하고 있다. 이에 대한 측정 데이터 및 결과 해석도 발표시 제시하기로 한다.

liquid NH₄⁺ standard curve

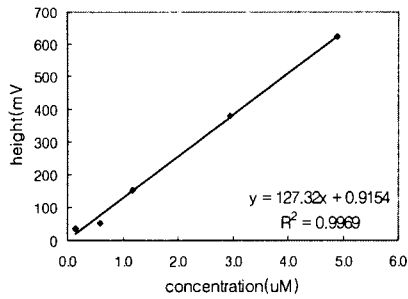


그림 87. standard curve of liquid phase NH₄⁺

감사의 글

본 연구는 광주과학기술원 환경모니터링 신기술 연구센터를 통한 한국과학재단 우수연구센터 및 두뇌한국21 사업에 의하여 지원되었으며, 도움을 주신 분들께 감사드립니다.

참고문헌

- Zhang Genfa, Purnendu K. Dasgupta (1989) Fluorometric Measurement of Aqueous Ammonium Ion in a Flow Injection System, *Analytical Chemistry*. 61, 408-412
- Sham S. Goyal (1988) Determination of Ammonium Ion by fluorometry or spectrophotometry after on-line derivatization with OPA, *Analytical Chemistry*. 60, 175-179
- D.F. Leahy (1984) The Brookhaven National Laboratory Real-time Ammonia Detector Operation and Calibration Procedures, BNL informal report
- P.K. Dasgupta (1986) Solubility of Ammonia in Liquid water and Generation of Trace Levels of Standard Gaseous Ammonia, *Atmospheric Environment*, vol.20, No.3, 565-570